# Preparação de Nanobastões de Óxido de Tungstênio

Luciana Lima Vieira\* (PG), Odair P. Ferreira (PQ), Oswaldo Luiz Alves (PQ)

Laboratório de Química do Estado Sólido-LQES, Instituto de Química, UNICAMP, CP 6154, CEP 13083-970, Campinas, SP, Brasil. \*luvieira@iqm.unicamp.br; http://lqes.iqm.unicamp.br

Palavras Chave: Óxido de tungtênio, nanobastões

#### Introdução

Nanopartículas de óxido de tungstênio têm atraído muito interesse devido seu potencial uso como catalisador, componentes ópticos especiais e fontes de emissão de campo. Em particular,  $WO_{3-x}$  (x=0) unidimensional (1D) também podem ser utilizados como precursores eficientes para o obtenção de nanotubos inorgânicos (IN) de  $WS_2$ , a partir de reações de sulfidização.

No entanto, a maior parte dos métodos de síntese reportados na literatura para a preparação de nanobastões de WO<sub>3-x</sub> é limitada a métodos sob altas temperaturas, em fase gasosa, ou reações gássólido. Para produção em larga-escala destas nanopartículas ainda precisam ser desenvolvidos métodos que utilizam temperaturas menores e precursores e solventes de baixo-custo.<sup>1</sup>

Neste trabalho, é descrito uma rota inorgânica simples para a preparação de nanobastões de  $W_{18}O_{49}$  utilizando solução aquosa.

## Resultados e Discussão

Para a preparação dos nanobastões de  $WO_{3-\infty}$  30 mL de ácido clorídrico 3 mol.L<sup>-1</sup> foram gotejados em 30 mL de uma solução de  $Na_2WO_4$  0,125 mol.L<sup>-1</sup> . Um precipitado amarelo de  $H_2WO_4$ ·n $H_2O$  aparece gradualmente. A mistura é vigorosamente agitada por 15 minutos, seguido de centrifugação (3000 rpm, 5 min). Após, adiciona-se 60 mL de água deionizada e 0-30 g de  $Na_2SO_4$  ao precipitado. A mistura é novamente agitada por 2 h, transferida para uma autoclave de Teflon de 90 mL e aquecida a 180°C por 16 horas. Após resfriado, o produto é separado por centrifugação e lavado com água.

A figura 1 mostra os padrões de difração de raio-x (DRX) das amostras sintetizadas com diferentes quantidades de sulfato. A figura 2 mostra as imagens SEM dos produtos obtidos.

Observa-se que o sulfato de sódio exerce influência tanto no controle da fase, quanto da morfologia do produto final. Na ausência de Na<sub>2</sub>SO<sub>4</sub>, é formado WO<sub>3</sub> triclínico, com morfologia de placas (Figura 2b).

Quando 5 g de  $Na_2SO_4$  é adicionado, obtém-se  $WO_3$  hexagonal. A partir de 10 g do sal, apenas  $W_{18}O_{49}$  monoclínico é obtido com morfologia de bastões.

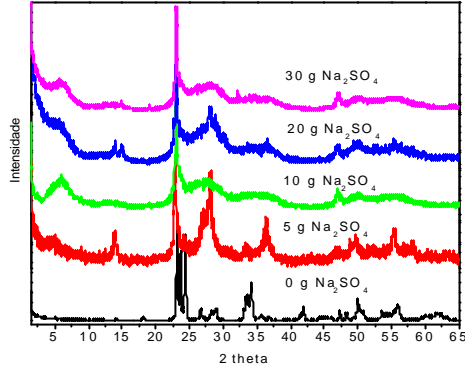


Figura 1. DRX das amostras com 0-30g de Na<sub>2</sub>SO<sub>4</sub>

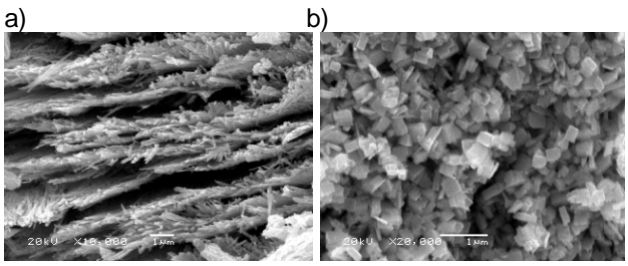


Figura 2. MEV das amostras com: a) 20 g e b) 0 g

Apesar do mecanismo de formação dos W<sub>18</sub>O<sub>49</sub> 1D ainda não ser bem conhecido, o efeito do sulfato de sódio foi claramente demonstrado no controle de morfologia e fase desses compostos. A formação dos nanobastões pode ser devido a um efeito de superfície, onde os íons sulfato adsorvem em uma superfície preferencial do cristal em formação, induzindo ao crescimento da nanopartícula em uma direção específica, ou então, o crescimento preferencial seria devido a um efeito de força iônica das espécies em solução. Um estudo sistemático está sendo realizado para o entendimento de quais destes dois mecanismos dominam a formação dos nanobastões.

#### Conclusões

Uma rota de síntese de nanobastões de óxidos de tungstênio foi estudada e a importância do sulfato de sódio no controle de fase e morfologia do óxidos foi demonstrada. Esses produtos podem ser utilizados como template para outros tipos de materiais 1D.

#### Agradecimentos

Fapesp, CNPq e ao Instituto do Milênio de Materiais Complexos (IM<sup>2</sup>C<sup>)</sup>

### Sociedade Brasileira de Química (SBQ)

<sup>1</sup> Wen, X. L. e Zeng, H. C. J. Inorg. Chem.. 2003, 42, 6169.